

(19) 日本国特許庁(JP)

(12) 特許公報(B2)

(11) 特許番号

特許第6199312号
(P6199312)

(45) 発行日 平成29年9月20日 (2017.9.20)

(24) 登録日 平成29年9月1日 (2017.9.1)

(51) Int.Cl. F 1
A 6 1 B 5/087 (2006.01) A 6 1 B 5/08 2 0 0

請求項の数 46 (全 30 頁)

(21) 出願番号	特願2014-553583 (P2014-553583)	(73) 特許権者	500046450
(86) (22) 出願日	平成25年1月25日 (2013.1.25)		レスメド・リミテッド
(65) 公表番号	特表2015-504744 (P2015-504744A)		ResMed Limited
(43) 公表日	平成27年2月16日 (2015.2.16)		オーストラリア2153ニュー・サウス・
(86) 国際出願番号	PCT/AU2013/000063		ウェールズ州 ベラ・ピスタ、エリザベス
(87) 国際公開番号	W02013/110136		・マッカーサー・ドライブ1番
(87) 国際公開日	平成25年8月1日 (2013.8.1)	(74) 代理人	100099623
審査請求日	平成28年1月25日 (2016.1.25)		弁理士 奥山 尚一
(31) 優先権主張番号	61/591, 346	(74) 代理人	100096769
(32) 優先日	平成24年1月27日 (2012.1.27)		弁理士 有原 幸一
(33) 優先権主張国	米国 (US)	(74) 代理人	100107319
			弁理士 松島 鉄男
		(74) 代理人	100114591
			弁理士 河村 英文

最終頁に続く

(54) 【発明の名称】 チェーンストークス呼吸パターンの判別

(57) 【特許請求の範囲】

【請求項1】

呼吸流量信号からチェーンストークス呼吸の存在を検出する装置であって、

(a) 前記呼吸流量信号に関連付けられる呼吸データを検討評価して、無呼吸事象及び/又は呼吸低下事象を検出し、

(b) サイクル長、デューティサイクル、及び前記呼吸データにおける変化を表す形状特徴、から選択された少なくとも1つの未加工の特徴を計算し、

(c) 検出された無呼吸事象及び/又は呼吸低下事象に基づいてサイクル長ヒストグラムを、前記少なくとも1つの未加工の特徴とは独立して生成し、

(d) 計算された未加工の特徴及び生成されたサイクル長ヒストグラムに基づいてチェーンストークス呼吸の存在を検出する、
ように構成されるプロセッサ、を備える、装置。

【請求項2】

前記プロセッサは、前記未加工の特徴を正規化し、分類するように構成される、請求項1に記載の装置。

【請求項3】

前記呼吸流量信号に関連付けられる前記呼吸データを記憶し、かつ前記プロセッサと通信するメモリを更に備える、請求項1又は2に記載の装置。

【請求項4】

前記プロセッサは、変換関数を用いて前記未加工の特徴を正規化し、該未加工の特徴を

10

20

0 ~ 1 の値を有する確率空間に変換するように構成される、請求項 2 又は 3 に記載の装置。

【請求項 5】

前記プロセッサは、1 つ又は複数のヒストグラムを作成して前記未加工の特徴のそれぞれを分類することにより、1 つ又は複数の未加工の特徴を分類するように構成される、請求項 2 乃至 4 のいずれか一項に記載の装置。

【請求項 6】

前記プロセッサは、前記未加工の特徴を前記 1 つ又は複数のヒストグラムにビン区分し、1 つ又は複数の所定の領域において前記ヒストグラムの パワー を計算し、前記ヒストグラムのそれぞれの前記 パワー が所定のしきい値より大きい場合には、チェーンストークス呼吸の確率を、該計算された ヒストグラムパワー の最大値になるように設定することによって、前記未加工の特徴を分類するように構成される、請求項 5 に記載の装置。

10

【請求項 7】

前記未加工の特徴は、前記呼吸データの変化を表す形状特徴であり、該形状特徴は、前記無呼吸事象又は前記呼吸低下事象直後のデータ内のピークを評価することによって推定される、請求項 1 乃至 6 のいずれか一項に記載の装置。

【請求項 8】

前記呼吸流量信号に関連付けられる前記呼吸データは、流量データ及び 1 回換気量データを含み、前記プロセッサは、

ピーク吸気流量データ及び吸気 1 回換気量を計算し、

20

前記ピーク吸気流量データと吸気 1 回換気量との積を計算し、該積を形態ベクトルに蓄積する、

ように構成される、請求項 7 に記載の装置。

【請求項 9】

前記プロセッサは、形態ベクトルと近似関数との間の平均二乗誤差を計算することによって、流量データ内のピークを評価するように構成される、請求項 7 又は 8 に記載の装置。

【請求項 10】

前記プロセッサは、前記形態ベクトルを 0 ~ 1 の確率空間に変換することによって前記形態ベクトルを正規化するように構成される、請求項 8 に記載の装置。

30

【請求項 11】

前記形状特徴は、患者の呼吸ドライブの立ち上がり及び立ち下がりのうちの少なくとも一方を表す、請求項 7 乃至 10 のいずれか一項に記載の装置。

【請求項 12】

前記プロセッサは、(a) 検出された無呼吸事象及び / 又は呼吸低下事象に基づいてサイクル長ヒストグラムを生成し、(b) 該サイクル長ヒストグラム及び推定された形状特徴に基づいてチェーンストークス呼吸の事例を検出する、ように更に構成される、請求項 7 乃至 11 のいずれか一項に記載の装置。

【請求項 13】

前記プロセッサは、前記呼吸流量信号の呼吸流量ピークの値、換気の値、又は 1 回換気量の値、のうちの少なくとも 1 つを評価するように構成される、請求項 12 に記載の装置。

40

【請求項 14】

前記プロセッサは、事象に基づいてサイクル長ヒストグラムを求め、前記無呼吸事象又は前記呼吸低下事象直後の流量データ内のピークを評価して、該流量データの前記ピークの変化を表す形状特徴を推定し、前記サイクル長ヒストグラム及び前記形状特徴に基づいて、チェーンストークス呼吸の事例を検出する、ように更に構成される、請求項 1 又は 2 に記載の装置。

【請求項 15】

前記プロセッサは、前記サイクル長ヒストグラム及び前記形状特徴を 0 ~ 1 の確率空間

50

に変換することによって、前記サイクル長ヒストグラム及び前記形状特徴を正規化するように更に構成される、請求項 14 に記載の装置。

【請求項 16】

前記プロセッサは、アクセスされた呼吸流量データを検討評価して、無呼吸事象及び/又は呼吸低下事象を、少なくとも 1 つの無呼吸期間の持続時間及び少なくとも 1 つのサイクル長を計算することによって検出するように更に構成され、かつ前記少なくとも 1 つの無呼吸期間の持続時間及び前記少なくとも 1 つのサイクル長に基づいてデューティサイクルを計算するように更に構成される、請求項 14 又は 15 に記載の装置。

【請求項 17】

前記プロセッサは、選択された 1 組のサイクル長に及びピンの組み合わせにわたってパワーを計算することにより、チェーンストークス呼吸の事例を検出するように更に構成される、請求項 14 乃至 16 のいずれか一項に記載の装置。

10

【請求項 18】

前記プロセッサは、前記形状特徴、前記サイクル長、及び前記パワーを用いてチェーンストークス呼吸の確率を求めることにより、前記チェーンストークス呼吸の事例を検出するように更に構成される、請求項 17 に記載の装置。

【請求項 19】

前記プロセッサは、重み付けされたチェーンストークス呼吸確率を複数の選択された期間にわたって結合することにより、全睡眠期間にわたる全チェーンストークス呼吸確率を求めるように更に構成される、請求項 18 に記載の装置。

20

【請求項 20】

前記プロセッサは、前記呼吸流量信号の呼吸流量ピークの値、換気の値、又は 1 回換気量の値、のうちの少なくとも 1 つを評価するように構成される、請求項 15 に記載の装置。

【請求項 21】

流量センサを更に備え、前記プロセッサは、前記流量センサを用いて前記呼吸流量信号を求めるように更に構成される、請求項 20 に記載の装置。

【請求項 22】

大気圧より高い圧力において患者用の呼吸可能ガスを生成するように構成される流れ発生器を更に備え、

30

前記プロセッサは、検出された無呼吸事象及び/又は呼吸低下事象に基づいて、圧力療法に従って前記呼吸可能ガスを生成するよう前記流れ発生器を制御するように更に構成される、請求項 21 に記載の装置。

【請求項 23】

呼吸信号からチェーンストークス呼吸の存在を検出するプロセッサの方法であって、前記呼吸信号を表す呼吸データにアクセスするステップと、該アクセスされた呼吸データを検討評価して、無呼吸事象及び/又は呼吸低下事象を検出するステップと、

サイクル長、デューティサイクル、及び前記呼吸データにおける変化を表す形状特徴、から選択された少なくとも 1 つの未加工の特徴を計算するステップと、

40

検出された無呼吸事象及び/又は呼吸低下事象に基づいてサイクル長ヒストグラムを生成するステップであって、該サイクル長ヒストグラム及び前記少なくとも 1 つの未加工の特徴は、互いに独立して生成される、ステップと、

計算された未加工の特徴及び生成されたサイクル長ヒストグラムに基づいて、チェーンストークス呼吸の存在を検出するステップと、
を含む、方法。

【請求項 24】

前記未加工の特徴を正規化するステップを更に含む、請求項 23 に記載の方法。

【請求項 25】

(a) 事象に基づいてサイクル長ヒストグラムを生成するステップと、

50

(b) 前記サイクル長ヒストグラムの一つに基づいて、チェーンストークス呼吸の事例を検出するステップと、
を更に含む、請求項 23 又は 24 に記載の方法。

【請求項 26】

前記サイクル長ヒストグラムは複数のピンを含み、該複数のピンはそれぞれ中点及びピン幅を有する、請求項 25 に記載の方法。

【請求項 27】

前記複数のピンは均等な間隔で配置される、請求項 26 に記載の方法。

【請求項 28】

前記アクセスされた呼吸データを検討評価して、無呼吸事象及び/又は呼吸低下事象を検出するステップは、各事象の持続時間を求めるステップを含む、請求項 23 乃至 27 のいずれか一項に記載の方法。

10

【請求項 29】

前記チェーンストークス呼吸の事例を検出するステップは、選択された 1 組のサイクル長に及ぶピンの組み合わせにわたってパワーを計算するステップを含む、請求項 25 乃至 28 のいずれか一項に記載の方法。

【請求項 30】

前記形状特徴は、患者の呼吸ドライブの立ち上がり及び立ち下がりのうちの少なくとも一方を表す、請求項 25 乃至 29 のいずれか一項に記載の方法。

【請求項 31】

20

前記形状特徴はジャンプ特徴である、請求項 25 乃至 29 のいずれか一項に記載の方法。

【請求項 32】

検出された無呼吸事象及び/又は呼吸低下事象後の呼吸ドライブの回復の速さに基づいて事象のタイプを識別するステップを更に含む、請求項 25 乃至 29 のいずれか一項に記載の方法。

【請求項 33】

前記ジャンプ特徴は、前記呼吸データの第 1 のピークを選択し、該第 1 のピークの所定の比にある第 2 のピークを選択し、前記第 1 のピークと前記第 2 のピークとの間の勾配を計算する、ことによって計算される、請求項 31 に記載の方法。

30

【請求項 34】

前記第 1 のピークと前記第 2 のピークとの間の前記勾配をスケールリングするステップを更に含む、請求項 33 に記載の方法。

【請求項 35】

前記形状特徴は、前記呼吸データに近似関数を当てはめることによって推定される、請求項 30 又は 31 に記載の方法。

【請求項 36】

前記呼吸データは、呼吸流量ピークの値又は 1 回換気量の値を含む、請求項 25 乃至 29 のいずれか一項に記載の方法。

【請求項 37】

40

前記無呼吸事象又は前記呼吸低下事象直後の呼吸データを評価して、前記呼吸データの変化を表す形状特徴を推定するステップと、該形状特徴に基づいてチェーンストークス呼吸の事例を検出するステップと、を更に含む、請求項 23 に記載の方法。

【請求項 38】

前記呼吸データを評価するステップは、2 つの隣接する無呼吸事象及び/又は呼吸低下事象間の時間の少なくとも一部の間吸気 1 回換気量を計算するステップを含む、請求項 37 に記載の方法。

【請求項 39】

前記呼吸データを評価するステップは、ピーク吸気流量データと吸気 1 回換気量との積を計算し、該積を形態ベクトルに蓄積するステップ、を含む、請求項 37 又は 38 に記載

50

の方法。

【請求項 4 0】

前記呼吸データを評価するステップは、前記形態ベクトルと近似関数との間の平均二乗誤差を計算するステップを更に含む、請求項 3 9 に記載の方法。

【請求項 4 1】

前記呼吸データを評価するステップは、前記無呼吸事象及び／又は前記呼吸低下事象間の流量データを積分し、その値を形態ベクトルに蓄積するステップ、を含む、請求項 3 9 に記載の方法。

【請求項 4 2】

前記呼吸データを評価するステップは、前記形態ベクトルと近似関数との間の平均二乗誤差を計算するステップを更に含む、請求項 4 1 に記載の方法。

10

【請求項 4 3】

事象に基づいてサイクル長ヒストグラムを求めるステップを更に含み、前記チェーンストークス呼吸の事例を検出するステップは、前記サイクル長ヒストグラム及び前記形状特徴に基づく、請求項 3 7 乃至 4 0 のいずれか一項に記載の方法。

【請求項 4 4】

前記形状特徴は、患者の呼吸ドライブの立ち上がり及び立ち下がりのうちの少なくとも一方を表す、請求項 3 7 に記載の方法。

【請求項 4 5】

前記無呼吸事象又は前記呼吸低下事象直後の流量データ内のピークを評価して、該流量データの前記ピークの変化を表す形状特徴を推定するステップと、サイクル長ヒストグラム及び前記形状特徴に基づいて、チェーンストークス呼吸の事例を検出するステップと、を更に含む、請求項 2 3 に記載の方法

20

【請求項 4 6】

前記未加工の特徴は、前記呼吸データの変化を表す形状特徴であり、該形状特徴は、前記無呼吸事象又は前記呼吸低下事象直後のデータ内のピークを評価することによって推定され、前記プロセッサは、前記形状特徴に基づいてチェーンストークス呼吸の事例を検出するように更に構成される、請求項 2 3 に記載の方法。

【発明の詳細な説明】

【技術分野】

30

【0 0 0 1】

(関連出願の相互参照)

本出願は、2012年1月27日に提出された米国仮特許出願第61/591,346号の出願日の利益を主張し、その出願の開示内容は参照することにより本明細書の一部をなすものとする。

【0 0 0 2】

本技術は生理学的信号(複数の場合もある)の解析による呼吸異常の判別に関する。詳細には、本技術は呼吸流量信号の解析によるチェーンストークス呼吸(「CSR」)の判別に関する。また、本技術はCSR判別のための確率値を与えることができる分類器のトレーニングにも関連することができる。

40

【背景技術】

【0 0 0 3】

チェーンストークス呼吸(「CSR」)は、睡眠時に或る患者によって経験される呼吸の満ち欠け(waxing-and-waning: 漸増漸減)パターンである。通常、これらの患者は心不全を患っているか、又は脳幹障害(すなわち、脳卒中)を受けている。そのパターンは、(i)血液ガス受容体から呼吸中枢への信号の過度の遅延と、(ii)過度の「ループ」利得、すなわち、プラント利得(plant gain)とコントローラ利得とを合わせた利得との組み合わせによって引き起こされる場合がある。

【0 0 0 4】

例えば、適応補助換気(ASV)デバイスを用いて改善された治療を受けられる可能性

50

があるので、持続的気道陽圧（CPAP）治療の被検者がCSRを示しているか否かを知ることは役に立つ可能性がある。代替的には、CSRが持続するか否か、又はCSRがいわゆる、CPAPによって発現した中枢性睡眠時無呼吸（CSA）の結果であったか否かを確認するために、被検者を監視することができる。CSRの「臨床的有意性」はかなり大きく、睡眠中にCSRがどの程度起こるかを知ることが重要である。

【0005】

CSRの診断は、通常、睡眠検査を行うこと、及びその結果得られる睡眠ポリグラフ（「PSG」）データを解析することを含む。完全診断PSG検査において、通常、鼻腔内流量（nasal flow）信号、呼吸努力の尺度、パルスオキシメトリ、睡眠時姿勢を含み、かつ脳波記録（「EEG」）、心電図記録（「ECG」）、筋電図記録（「EMG」）及び眼電図記録（「EOG」）を含むこともできる、さまざまな生物学的パラメータが監視される。呼吸特性はまた、視覚的特徴からも識別され、したがって、臨床医は睡眠中の呼吸機能を検討評価し幾分かでもCSRがあることを診断することができる。

10

【0006】

臨床医による診察が最も包括的な方法であるが、これはコストがかかるプロセスであり、臨床経験及び理解に大きく依存する。患者の効率的なスクリーニングのために、本出願の譲受人により、鼻腔内流量信号に基づいてCSRの発生する確率を計算することによりスコアリングプロセスを自動化する分類器アルゴリズムが開発された。この方法は、2007年3月28日に出版され2006年6月29日に国際公開第2006066337号として公開された米国特許出願第11/576,210号（米国特許出願公開第20080177195号）に開示されている。その方法は流量に基づく分類器を含むことができ、一連の離散的な流量値が与えられると、CSRの確率が計算される。

20

【0007】

分類器の概念は、対象又は対象の潜在する状態を多数のクラスのうちの1つに割り当てることが望ましい多くの分野に共通している。この概念は、例えば、音声認識（音声バイトが種々の語又は音節として分類される）、レーダー検出（視覚信号が敵の標的/味方の標的として分類される）及び医療診断（検査結果を用いて患者の病状が分類される）の分野において用いられる。分類器の設計は、パターン認識の分野に入り、分類器は教師あり型（この分類器は、教師又は「専門家」によって予め分類されたトレーニングデータから構築される）か又は教師なし型（データの自然な順序付け又はクラスタリングによって種々のクラスが決まる）とすることができる。時間信号分類は、通常、特定の時点の信号を「特徴」を用いて表すことに依拠する。特徴は、単に、或る時点における信号の本質、すなわち圧縮の形態を抽出する数である。特徴のセット（又はベクトル）は「パターン」と呼ばれる。分類器は、パターンを取得し、このパターンを適切なアルゴリズムを用いて数学的に操作することにより、複数のクラスの各々に対して確率値を生成する。パターンは、最高確率のクラスに割り当てられる。

30

【0008】

国際公開第2006066337号において記述されるアルゴリズムは、多次元特徴空間を使用し、判別関数を用いて特徴をクラスタに分けることによってクラスタ分析を実行する。この手法は計算集約的であり、通常は別のコンピュータにおいて実行される。

40

【発明の概要】

【0009】

データ収集システム及びメモリを含むロギングデバイスを用いて、患者から鼻腔内流量信号、オキシメトリ信号等の、呼吸を表す信号を記録することができる。開示される方法によれば、呼吸信号は、記録デバイスによってオンボードでリアルタイムに処理することができるか、又はコンピュータ若しくはプロセッサを用いてオフラインで処理することができる。

【0010】

本技術は、呼吸信号からチェーンストークス呼吸の存在を示すプロセッサの方法を提供することができる、呼吸信号を表す呼吸データにアクセスするステップと、アクセスされた

50

データを検討評価し、無呼吸事象及びノ又は呼吸低下事象を検出するステップとを含む。事象に基づいてサイクル長ヒストグラムを生成することができる。サイクル長ヒストグラムに基づいて、チェーンストークス呼吸の事例を検出することができる。

【0011】

幾つかの実施形態では、サイクル長ヒストグラムは複数のピンを含み、複数のピンはそれぞれ中点及びピン幅を有する。複数のピンは均等な間隔で配置することができる。データを検討評価して、無呼吸事象及びノ又は呼吸低下事象を検出することは、各事象の持続時間を求めることを含むことができる。チェーンストークス呼吸の事例を検出することは、選択された1組のサイクル長に及ぶピンの組み合わせにわたってパワーを計算することを含むことができる。本方法は、無呼吸事象又は呼吸低下事象直後の呼吸データを評価して、呼吸データの変化を表す形状特徴を推定することを更に含み、チェーンストークス呼吸の事例を検出することは、サイクル長ヒストグラム及び推定された形状特徴の双方に基づく。呼吸データは、呼吸流量、換気及びノ又は1回換気量のうちの少なくとも1つの値を含むことができる。呼吸流量データは具体的には呼吸流量ピークのデータを含むことができる。

10

【0012】

別の態様では、呼吸信号からチェーンストークス呼吸の存在を示す装置は、呼吸信号を記憶するメモリと、メモリに結合されるプロセッサとを備えることができる。プロセッサは、(a)データを検討評価して、無呼吸事象及びノ又は呼吸低下事象を検出し、(b)事象に基づいてサイクル長ヒストグラムを生成し、(c)サイクル長ヒストグラムに基づいてチェーンストークス呼吸の事例を検出するように構成される。

20

【0013】

幾つかの実施形態では、プロセッサは、無呼吸事象又は呼吸低下事象直後の呼吸信号を評価して、流量データのピークの変化を表す形状特徴を推定し、サイクル長ヒストグラム及び形状特徴の双方に基づいてチェーンストークス呼吸の事例を検出するように更に構成することができる。プロセッサは、呼吸信号の呼吸流量ピークの値又は1回換気量の値の少なくとも1つを評価するように更に構成することができる。

【0014】

別の態様では、呼吸信号からチェーンストークス呼吸の存在を示すプロセッサの方法は、呼吸信号を表す呼吸流量データにアクセスすることと、アクセスされた呼吸データを検討評価して、無呼吸事象及びノ又は呼吸低下事象を検出することと、無呼吸事象又は呼吸低下事象直後の呼吸データを評価して、流量データのピークの変化を表す形状特徴を推定することと、推定された形状特徴に基づいてチェーンストークス呼吸の事例を検出することとを含むことができる。

30

【0015】

幾つかの実施形態では、評価するステップは、2つの隣接する無呼吸事象及びノ又は呼吸低下事象間の時間の少なくとも一部の間に吸気1回換気量を計算することを含む。評価するステップは、ピーク吸気流量データと吸気1回換気量との積を計算し、この積を形態ベクトルに蓄積することも含む。また、評価するステップは、呼気1回換気量及びノ又はピーク呼気流量を計算することも含むことができる。代替的には、そのような呼吸ごとの特徴を用いるのではなく、代わりに、呼吸流量信号を積分し、その値を形態ベクトルに蓄積することによって、換気信号を計算することを伴う。呼吸データを評価することは、形態ベクトルと近似関数との間の平均二乗誤差を計算することを更に含む。そのような計算は、換気ドライブ(及び等価呼吸流量)の全体形状の指示を与え、形状特徴を構成する。本方法は、事象に基づいてサイクル長ヒストグラムを求めることを更に含み、チェーンストークス呼吸の事例を検出することは、サイクル長ヒストグラム及び形状特徴の双方に基づく。

40

【0016】

別の態様では、呼吸信号に関連付けられる呼吸データからチェーンストークス呼吸の存在を示す装置は、呼吸データを記憶するメモリと、メモリに結合されるプロセッサとを備

50

えることができる。プロセッサは、(a)呼吸データを検討評価して、無呼吸事象及び/又は呼吸低下事象を検出し、(b)無呼吸事象及び/又は呼吸低下事象直後の呼吸データ内の特徴を評価して、例えば患者の呼吸ドライブの立ち上がり及び/又は立ち下がり等の、流量データのピークの変化を表す形状特徴を推定し、(c)推定された形状特徴に基づいてチェーンストークス呼吸の事例を検出するように構成される。

【0017】

幾つかの実施形態では、プロセッサは、ピーク吸気流量データ及び吸気1回換気量を計算するように構成することができ、流量データの特徴を評価することは、ピーク吸気流量データと吸気1回換気量との積を計算し、この積を形態ベクトルに蓄積することを含む。プロセッサは、形態ベクトルと近似関数との間の平均二乗誤差を計算することによって、流量データの特徴を評価するように構成することができる。プロセッサは、形態ベクトルを0~1の確率空間に変換することによって形態ベクトルを正規化するように構成することができる。

10

【0018】

別の態様では、呼吸信号からチェーンストークス呼吸の存在を示すプロセッサの方法は、呼吸信号を表す呼吸データにアクセスすることと、呼吸データを検討評価して、無呼吸事象及び/又は呼吸低下事象を検出することと、事象に基づいてサイクル長ヒストグラムを求めると、無呼吸事象又は呼吸低下事象直後の呼吸流量データの特徴を評価して、例えば患者の呼吸ドライブの立ち上がり及び/又は立ち下がり等の、流量データのピークの変化を表す形状特徴を推定することと、サイクル長ヒストグラム及び推定された形状特徴に基づいて、チェーンストークス呼吸の事例を検出することを含む。

20

【0019】

幾つかの実施形態では、本方法は、サイクル長ヒストグラム及び形状特徴を0~1の確率空間に変換することによって、サイクル長ヒストグラム及び形状特徴を正規化することを更に含むことができる。データを検討評価して、無呼吸事象及び/又は呼吸低下事象を検出することは、少なくとも1つの無呼吸期間の持続時間及び少なくとも1つのサイクル長を計算することを含むことができ、少なくとも1つの無呼吸期間の持続時間及び少なくとも1つのサイクル長に基づいてデューティサイクルを計算することを更に含む。チェーンストークス呼吸の事例を検出することは、選択された1組のサイクル長に及ぶ(サイクル長ヒストグラムの)ピンの組み合わせにわたってパワーを計算することを含むことができる。チェーンストークス呼吸の事例を検出することは、形状特徴、サイクル長及びパワーを用いてチェーンストークス呼吸の確率を求めることを含むことができる。本方法は、複数の選択された期間にわたって、重み付けされたチェーンストークス呼吸確率を結合することによって、全睡眠期間にわたる全チェーンストークス呼吸確率を求めることを更に含むことができる。

30

【0020】

別の態様では、呼吸信号からチェーンストークス呼吸の存在を示す装置は、呼吸信号に関連付けられる呼吸データを記憶するメモリと、メモリに結合されるプロセッサとを含むことができ、プロセッサは、(a)呼吸データを検討評価して、無呼吸事象及び/又は呼吸低下事象を検出し、(b)事象に基づいてサイクル長ヒストグラムを求め、(c)無呼吸事象又は呼吸低下事象直後の呼吸データの特徴を評価して、例えば、患者の呼吸ドライブの立ち上がり及び/又は立ち下がり等の、呼吸データの変化を表す形状特徴を推定し、(d)サイクル長ヒストグラム及び推定された形状特徴に基づいて、チェーンストークス呼吸の事例を検出するように構成される。

40

【0021】

幾つかの実施形態では、プロセッサは、少なくとも1つの無呼吸期間の持続時間及び少なくとも1つのサイクル長を計算することによって、データを検討評価して、無呼吸事象及び/又は呼吸低下事象を検出ことができ、プロセッサは、少なくとも1つの無呼吸期間の持続時間及び少なくとも1つのサイクル長に基づいてデューティサイクルを計算するように更に構成される。プロセッサは、選択された1組のサイクル長に及ぶピンの組み

50

合わせにわたってパワーを計算し、形状特徴、サイクル長及びパワーを用いてチェーンストークス呼吸確率を求めることによって、チェーンストークス呼吸の事例を検出するように構成することができる。

【0022】

別の態様では、呼吸信号からCSRを検出する装置は、呼吸信号を表す呼吸データにアクセスする、少なくとも1つのプロセッサを有するコントローラを含むことができ、コントローラは、(a)呼吸データを検討評価して、無呼吸事象及び/又は呼吸低下事象を検出し、(b)事象に基づいてサイクル長ヒストグラムを求め、(c)無呼吸事象又は呼吸低下事象直後の呼吸データを評価して、例えば、患者の呼吸ドライブの立ち上がり及び/又は立ち下がり等の、呼吸データの変化を表す形状特徴を推定し、(d)サイクル長ヒストグラム及び形状特徴に基づいて、チェーンストークス呼吸の事例を検出するように更に構成される。

10

【0023】

幾つかの実施形態では、形状特徴の計算は、呼吸流量ピークの値、又は1回換気量の値、又は換気の値、のうちの少なくとも1つに基づくことができる。換気データ及び1回換気量データは、呼吸流量データに基づいて計算することに留意されたい。したがって、その処理構成では、換気データ及び/又は1回換気量データを直接受信する代わりに、コントローラが呼吸流量データを受信し、この呼吸流量データに基づいて、形状特徴を推定する際に用いられる換気データ及び1回換気量データを計算することができる。

【0024】

20

本装置は流量センサを更に含むことができ、コントローラは、流量センサを用いて呼吸信号を求めるように更に構成される。本装置は、大気圧より高い圧力において患者のための呼吸可能ガスを生成するように構成される流れ発生器を更に備えることができ、コントローラは、検出された呼吸低下に基づく圧力療法に従って呼吸可能ガスを生成するよう流れ発生器を制御するように更に構成される。

【0025】

本技術の他の特徴は、以下の詳細な説明、要約書及び特許請求の範囲に含まれる情報を考慮することによって明らかとなる。

【0026】

本技術は、限定としてではなく例として、添付図面の各図に示されており、そこでは、同様の参照符号は同様の要素を指している。

30

【図面の簡単な説明】

【0027】

【図1】本技術の幾つかの実施形態の一例のCSR検出器の構造図である。

【図2】周期的な満ち欠けを含み、通常のCSR期間を特徴付ける呼吸流量波形を示す図である。

【図3】その構成要素及びそれらの構成要素の出力によって検出モジュールが提示される、図1のCSR検出器の拡張された構造図である。

【図4】幾つかの実施形態においてCSRを検出するために検討評価することができる1つ又は複数の特徴を導出するためのプロセスの一例の流れ図である。

40

【図5A】閉塞性無呼吸を含む呼吸流量波形の形態を示す図である。

【図5B】CSRを示す場合がある中枢性無呼吸を含む呼吸流量波形の形態を示す図である。

【図6】計算されたCSR確率の幾つかの例を示す図である。

【図7】CSR期間の検出に関与する種々の特徴を含む、通常のCSR期間の睡眠ポリグラフ記録を示す図である。

【図8】本技術による、一例のCSR検出及び/又はトレーニング装置の概略図である。

【図9】オプションの流量センサ及び流れ発生器を備える本技術の一例のCSR検出装置を示す図である。

【発明を実施するための形態】

50

【 0 0 2 8 】

(詳細な説明)

本技術の実施形態は、CSR事象検出を用いるシステム、デバイス、分類器及び/又は方法を含むことができる。本明細書では、実施形態例を、添付図面、より詳細には図1～図7を参照して説明する。

【 0 0 2 9 】

CSRは、換気の中樞神経系制御における不安定性が原因であると考えられる周期性呼吸の形態である。CSR患者の呼吸パターンは、呼吸が無呼吸/低呼吸及び過呼吸の繰返しの症状の間で交互に起こる際に、「満ち欠け(漸増漸減)」する一回換気量によって特徴付けられる。圧縮したタイムスケールにおける鼻腔内流量信号の記録は、振幅変調(「AM」)波形に類似するパターンを示す。

10

【 0 0 3 0 】

チェーンストークス呼吸(CSR)は、鼻腔内流量記録又は気道流量記録等の肺機能を直接測定することを通して観測することができる。心臓と肺系統との間の結合に起因して、CSRは、オキシメトリ信号を通して、交互の飽和度低下(desaturation)期間及び飽和度上昇(resaturation)期間として特定することもできる。したがって、オキシメトリ信号は、チェーンストークス呼吸を解析するために利用可能な情報源を提供することができる。この手法の利点は、被検者の健康状態の決定要因である血中酸素飽和度を非侵襲的に測定するためにオキシメータ(酸素濃度計)を使用することを含むことができる。オキシメトリによって信号を得ることに関する更なる情報は、2010年4月15日に出願の「Discrimination of Cheyne-Stokes Breathing Patterns By Use of Oximetry Signals」と題する国際特許出願PCT/AU2010/000416号において見いだすことができ、その出願は参照することによりその全体が本明細書の一部をなすものとする。オキシメトリ記録は、CSR又は他の呼吸異常(例えば、閉塞性睡眠時無呼吸(OSA))の発生の証拠を提供することができる。したがって、成功を収めるアルゴリズムは、異なる呼吸障害を判別することができるであろう。

20

【 0 0 3 1 】

本技術は、例えば、流れ発生器内にあり、睡眠期間中に発生する無呼吸及び/又は呼吸低下を含む、患者の呼吸を表す信号を解析することによってCSRを検出するプロセッサを実現する。CSRを伴う患者は、明らかに区別可能な無呼吸クラスタ及び/又は呼吸低下クラスタを有することになり、それらのクラスタは、無呼吸クラスタ及び/又は呼吸低下クラスタがCSRとして特定できるか否かを判断できるようにする一定の特徴を有する。

30

【 0 0 3 2 】

呼吸パターンにおける無呼吸クラスタ及び/又は呼吸低下クラスタを調べる際に関連する場合がある1つの特徴はサイクル長であり、サイクル長は、2つの隣接する無呼吸及び/又は呼吸低下を隔てる時間と見なすことができる。したがって、サイクル長は、1つの無呼吸及び/又は呼吸低下の開始から次の連続した無呼吸及び/又は呼吸低下の開始までの時間として測定することができる。代替的には、サイクル長は、1つの無呼吸及び/又は呼吸低下の終了から次の連続した無呼吸及び/又は呼吸低下の終了までの時間と定義することができる。通常、CSRを伴う患者の場合の無呼吸及び/又は呼吸低下のサイクル長は40秒から90秒までのばらつきがある。したがって、患者の呼吸パターンのサイクル長と、CSRに関連付けられる通常のサイクル長とを比較することによって、患者がCSRを患っているか否かを結論付けることができる。2つの開始又は終了無呼吸及び/又は呼吸低下マーカ間の差は、サイクル長を計算するために取り得る1つの方法にすぎないことに留意することができる。サイクル長を計算するのに、他の等価な時点を用いることもでき、すなわち、nを任意の実数とすることができるときに、2つの隣接する無呼吸のn秒後間の時間(the time between the n-th seconds)を用いることができる。より明白な例は、nが整数である、例えば、10等の1～30の整数である場合である。代替的には、サイクル長は、2つの過呼吸間(2つの連続した無呼吸事象及び/又は呼吸低下事

40

50

象間の呼吸期間)の呼吸流量信号のピーク間の時間として計算することができる。

【0033】

C S R期間の別の特徴は、両側に小さな呼吸が位置する大きな呼吸を含む、呼吸低下期間である。この特徴及び他の形態に関連する特徴(形状特徴とも呼ばれる)が、図5 A及び図5 Bを参照しながら、後に更に詳細に論じられる。そのような形態パターンを抽出し、解析することによって、1つ又は複数の形状特徴を分類して、C S Rを検出することができる。

【0034】

その解析を開始するために、ロギングデバイスを用いて、流量センサからの鼻腔内流量信号、パルスオキシメータからのオキシメトリ信号等の呼吸を表す信号を最初に患者から記録することができる。記録された信号は、未加工の、又は収集された呼吸流量信号と呼ばれる場合がある。幾つかの実施形態では、その信号は呼吸フレームによって異なる呼吸にフレーム化することができる。その後、フレーム化された信号は、1組の検出器まで進むことができる。

【0035】

検出器

図1は、幾つかの検出構成要素及び計算構成要素を有するC S R検出器100を示しており、それらの構成要素と一例のチェーンストークス検出モジュールとの関係も示される。複数の構成要素は、流れ発生器を備える呼吸処理装置等のデバイス若しくは装置内又は別のコンピューティングデバイス若しくは検出デバイス内の1つ又は複数のプロセッサによって実現することができる。それらの構成要素は、患者呼吸信号を表すデータにアクセスし、そのデータを検討評価し、呼吸関連事象の存在を判断することができる。

【0036】

複数の検出構成要素は無呼吸検出器102を含むことができる。無呼吸検出器102は、呼吸流量信号にアクセスし、検討評価して、無呼吸事象を検出する。例えば、無呼吸期間が現れる場合には、その検出器は、無呼吸が終了するときにフラグを生成することができる。無呼吸検出器102は無呼吸の持続時間を計算することができる。したがって、無呼吸検出器102は、無呼吸クラスタの存在及び持続時間に関するデータを他のモジュール又はプロセスに与えるように構成される。無呼吸を検出する方法は、米国特許第6,138,675号において記述される方法等の、当該技術分野において既知の方法とすることができる。

【0037】

検出器構成要素は呼吸低下検出器104も含むことができる。呼吸低下検出器104は、呼吸信号を評価し、呼吸低下の事例を検出することができる。例えば、呼吸低下期間が検出される場合には、その検出器は、呼吸低下が終了するときにフラグを生成することができる。呼吸低下検出器104は、検出された呼吸低下の持続時間を計算することもできる。呼吸低下検出器104は、呼吸低下クラスタの存在及びその持続時間に関するデータを与えるために、他のモジュール又はプロセスと通信することができる。呼吸低下検出のために、当該技術分野において既知の方法を実施することができる。例えば、その方法は、2010年5月17日に出願の米国特許出願第12/781,070号において記述されており、その開示は参照することにより本明細書の一部をなすものとする。

【0038】

呼吸の吸気部分を調べ、吸気流量に関連付けられる場合がある種々の呼吸特徴を計算する吸気流量計算器106も含まれる場合がある。吸気流量に関連付けられる特徴の例は、限定はしないが、吸気時間、1回換気量及びピーク流量を含むことができる。吸気流量計算器は、これらのありとあらゆる特徴を計算することができる。本明細書において説明される例示的な方法では、吸気流量計算器によって、1回換気量及びピーク流量が求められる。これらの特徴は、更なる処理及び/又は分類のために次のモジュール又はプロセスに入力することができる。呼吸信号の呼気部分に基づいて、同様の処理及び分類を実行することもできる。オプションでは、呼吸流量データを積分することによって換気信号を計算

10

20

30

40

50

することができる。この信号も、その後、次のモジュールにおける入力として用いることができる。

【0039】

チェーンストークス検出モジュール例

検出器102、104及び計算器106からのデータ出力は、チェーンストークス検出モジュール108に渡され、チェーンストークス検出モジュールは、無呼吸クラスタ及び呼吸低下クラスタを解析することによってチェーンストークス呼吸の期間を分類する。具体的には、チェーンストークス検出モジュールは、収集されたデータセットに基づいて1つ又は複数の未加工の特徴を計算し、その特徴を分類し、その後、CSR検出を示す出力を生成することができる。例示を容易にするために、通常のCSR期間を示す図2を参照しながら、未加工の特徴が説明される。

10

【0040】

論じられたように、無呼吸検出器102、呼吸低下検出器104及び吸気流量計算器106は、それぞれの持続時間等の無呼吸及び呼吸低下の存在に関するデータ、及び吸気流量特徴に関するデータを与える。これらのパラメータから、チェーンストークス検出モジュールは、3つの未加工の特徴を計算することができる：(1)無呼吸クラスタ及び/又は呼吸低下クラスタのためのサイクル長ヒストグラム、(2)形状特徴、及び(3)デューティサイクル。これら3つの未加工の特徴が順に論じられる。

【0041】

図2に示されるように、通常のCSR期間中に、呼吸の周期的な満ち欠けが存在する場合がある。すなわち、無呼吸210の長さが規則的に次々に発生し、呼吸ドライブがゆっくりと移り変わる呼吸期間によって分離される。これが、図2において大きな振幅を有する呼吸として示されており、その両側に過呼吸207中の小さな振幅を有する呼吸がある。サイクル長220は、2つの連続した無呼吸210又は2つの連続した過呼吸207のいずれかの開始時間(又は終了時間)間の経過時間と定義することができる。したがって、第1の有用な未加工の特徴はサイクル長であり、サイクル長は、無呼吸クラスタ及び呼吸低下クラスタ並びに持続時間に関するデータを用いて計算することができる。この情報は、サイクル長ヒストグラムを用いて更に処理され、CSR被検者の場合の通常のサイクル長と比較される。

20

【0042】

無呼吸210後の呼吸ドライブの回復に関するデータも収集することができる。したがって、この回復を反映する第2の有用な未加工の特徴は、「形状特徴」である。具体的には、形状特徴は、呼吸ドライブの全体プロファイル230の少なくとも一部を取り込む。全体ドライブ230は、無呼吸又は呼吸低下後の呼吸ドライブの回復と、次の無呼吸又は呼吸低下につながる呼吸ドライブのその後の減少とによって特徴付けられる。形状特徴の一例がジャンプ特徴235であり、その特徴は呼吸ドライブの上昇部分においてピーク流量が「ジャンプ」して振幅が変化することを示す。ジャンプ特徴235は、図2において、複数の呼吸流量ピークを追跡し、過呼吸中の上昇呼吸ドライブを描く斜線で示される。そのプロファイルが求められる流量ピークは、隣接する場合も、隣接しない場合もある。したがって、無呼吸後に、例えば、ジャンプ特徴235の形をとる形状特徴を計算して、正常な呼吸への回復を評価することができる。代替的には、形状特徴は、呼吸プロファイル230の他の部分、又は全体に基づいて計算することができる。

30

40

【0043】

具体的には、ジャンプ特徴235は、呼吸ドライブが回復する態様を定量化しようと試みる。閉塞性無呼吸及び/又は呼吸低下後に、呼吸ドライブが極めて迅速に、しかも大きく回復することが予想される。中枢性無呼吸及び/又は呼吸低下後に、呼吸ドライブは、それよりも緩やかに回復するであろう。

【0044】

第3の有用な未加工の特徴はデューティサイクルである。無呼吸長210及びサイクル長220を用いて、デューティサイクルも計算することができる。デューティサイクルは

50

、無呼吸長 210 をサイクル長 220 で割った値と定義することができる。CSR 患者の場合、デューティサイクルは約 1/3 であると予想される。

【0045】

したがって、未加工の特徴ごとに、チェーンストークス検出モジュール 108 は、特徴を計算し、その後、分類を実行して、被検者が CSR を患っているか否かを判断することができる。チェーンストークス検出モジュールは、未加工の特徴を計算し、分類した後にレポートを出力することもできる。被検者が CSR を患っているか否かを判断するために、2 つ以上の特徴を分類することもできる。

【0046】

未加工の特徴の分類は、種々の方法によって成し遂げることができる。以下の例では、具体的に論じられた方法を用いて未加工の特徴が分類されるが、未加工の特徴は種々の異なる方法を用いて分類することができる。

10

【0047】

サイクル長ヒストグラム

サイクル長ヒストグラムの計算が最初に説明される。サイクル長ヒストグラムは、CSR 期間中のサイクル長の分布を特徴付けるために形成される。サイクル長ヒストグラムは、CSR 期間中の無呼吸クラスタ/呼吸低下クラスタのためのサイクル長データを蓄積し、その長さに基づいて、各サイクルを複数のビンのうちの 1 つに関連付け、データを複数のビンに実効的に分割し、潜在的なサイクル長の頻度を評価する。各ピンは中点及び幅によって特定することができる。ビンの中点は等間隔に配置することができるか、又はデータの密度に応じて変更することができる。一例では、ピン中点は 10 秒のピン幅で 5 秒から 105 秒まで均等な間隔で配置される（例えば、5、15、25、35、...、105 において中点を有する離散したピンが形成される）。しかしながら、ピン中点及びピン幅は所望により変更できることは理解されよう。例えば、ピン幅は、3 秒、5 秒、10 秒又は 15 秒に設定することができる。さらに、ヒストグラムは、データの密度に応じて幅が変化するピンを含むことができる。

20

【0048】

CSR 期間の各クラスタからの各サイクル（例えば、タイムアウトしきい値に達する前に特定されたサイクル）が評価され、対応するビンに入れられる。そのシステムは、無呼吸又は呼吸低下が発生するときに、「暫定の」又は「可能性がある」CSR 期間を直ちに示し、そのような暫定 CSR 期間が、サイクル長がタイムアウトしきい値に達するまで継続する。サイクル長タイマがタイムアウトしきい値に達するという事実は、2 つの隣接する無呼吸及び/又は呼吸低下が、患者が正常な呼吸に回復したことを示すほど十分に離れたことを示す。そのような事象は、現在の暫定 CSR 期間の終了を知らせる。患者が自発的に呼吸するたびにタイムアウトしきい値に対するカウントが始まるが、無呼吸期間が特定されるとき 0 に戻る。所定の期間中に無呼吸期間が現れない場合にのみ、このしきい値に達する。このタイムアウトしきい値の所定の期間は、所望により、任意の持続時間に設定することができる。例えば、タイムアウトしきい値は、所望により、3 分、4 分、5 分又は 6 分に設定することができる。上記の例では、タイムアウトしきい値は 3 分に設定される。

30

40

【0049】

図 3 は、CSR 確率の根底をなす計算に関連付けられる構成要素及び出力を示す流れ図である。その計算は無呼吸検出器からの無呼吸状態及び無呼吸持続時間と、呼吸低下検出器からの呼吸低下状態及び呼吸低下持続時間と、吸気流量計算器からの吸気ピーク流量とを利用する。

【0050】

図 4 は、in - CSR 期間中に CSR 特徴を分類するプロセスを示す。各サイクル長を特徴付ける図示される循環プロセスは、ステップ 401 においてサイクル長カウンタをインクリメントすることによって開始する。その後、ステップ 402 において、サイクル長が所定のしきい値と比較され、この場合、所定のしきい値は上記で論じられたタイムアウ

50

トしきい値である。そのしきい値は一定値を有することができるか、又は実験的にトレーニングすることができる。サイクル長が所定のしきい値より大きい場合には、CSR特徴（例えば、サイクル長ヒストグラム及び対応する形状特徴）が分類され、サイクル長カウンタ、サイクル長ヒストグラム及び形状特徴カウンタがリセットされ、ステップ406において、in-CSR期間フラグが偽に設定される。無呼吸又は呼吸低下が現れるたびに、サイクル長カウンタが再開される。

【0051】

しかしながら、サイクル長が所定のしきい値未満である場合には、ステップ403において、無呼吸又は呼吸低下が発生したか否かを調べることによって、すなわち、無呼吸検出器102又は呼吸低下検出器104をそれぞれ用いることによって、プロセスが継続する。真である場合には、ステップ404において、システムが暫定CSR期間に入ること示す、in-CSR期間フラグが真に設定され、サイクル長ヒストグラムが更新され、サイクル長カウンタが0にリセットされ、次のサイクル長を開始できるようにする。無呼吸又は呼吸低下が発生していなかった場合には、そのサイクルはステップ401に戻り、サイクル長カウンタがインクリメントされる。このプロセスを繰り返すことによって、無呼吸クラスタ及び/又は呼吸低下クラスタからの種々の収集されたサイクル長がピンに適用される。

【0052】

形状特徴計算

無呼吸クラスタ及び/又は呼吸低下クラスタから、同様に、形状特徴を計算することができる。上記のように、形状特徴は、無呼吸又は呼吸低下直後の流量波形の形態を示すために用いられる指標である。図5A及び図5Bは、2つの異なるタイプの流量形態を示す。1つの未加工の特徴のみ（例えば、形状特徴のみ、又はサイクル長のみ）を用いて、CSRを分類し、検出できることは理解されよう。幾つかの実施形態では、2つ以上の未加工の特徴を評価することができ、これらの組み合わせを用いて、CSRの可能性の更に正確な指標を生成することができる。そのような場合に、特徴のうちの1つ又は複数に重み付け係数を適用することができる。

【0053】

図5Aは、閉塞性無呼吸/呼吸低下後の信号形態を示しており、図5Bは中枢性無呼吸/呼吸低下後の信号形態を示す。図5A及び図5Bを比較することによって理解できるように、ピーク流量の形状の振幅変化（形状特徴）は、閉塞性事象後の過呼吸期間に比べると、中枢性事象後に緩やかである。これは、中枢性無呼吸後に、呼吸ドライブがゆっくり戻ってくることに関連する。CSRは単に高密度の中枢性無呼吸/呼吸低下を伴う期間であるので、通常のOSAと比べると、CSR事象中の流量形態には明らかな相違がある。

【0054】

形状特徴を計算するのに幾つかの方法がある。そのような計算において、最大及び/又は最小呼気流量のピークを用いることができる。幾つかの実施形態では、無呼吸/呼吸低下間に、吸気流量計算器から得られる、ピーク吸気流量と吸気1回換気量との積が計算され、形態ベクトル（ShapeFeatVec）に蓄積される。その後、形態ベクトルと基準ベクトル（近似関数から生成される）との間の関係を解析することによって、形状特徴を計算することができる。一例として、この関係の指標として、形態ベクトルと基準ベクトルとの間の平均二乗誤差（MSE）を用いることができる。任意の適切な近似関数を用いることができ、1つの近似関数だけを用いることに限定されない。例えば、正弦関数及び余弦関数を用いて、平均二乗誤差を計算することができ、特徴分類器によって、2つの結果を併用することができる。さらに、形状特徴を計算する際に、過呼吸中の吸気ピーク流量及び吸気1回換気量を全て使用する必要はない。また、ピーク吸気流量及び吸気1回換気量の特徴のいずれかをCSR検出のために個別に用いることもできる。オプションでは、流量信号の他の特徴を実現して、形態学的「形状」（例えば、吸気時間）を特徴付けることができる。

10

20

30

40

50

【 0 0 5 5 】

別の実施形態では、形態ベクトルは、無呼吸/呼吸低下事象間の換気値からなることができる（流量信号を積分することによって計算される）。その後、結果として生成された形態ベクトルと基準ベクトル（近似関数を用いることによって計算される）との間の関係を解析することによって、形状特徴を計算することができる。一例として、この関係の指標として、形態ベクトルと基準ベクトルとの間の平均二乗誤差（MSE）を用いることができる。

【 0 0 5 6 】

一例では、形状特徴は、以下のように、現在のShapeFeatVec、pf(y)に対して近似関数b(x)を用いることによって計算することができる。

【数1】

$$b(x) = \sin(\pi x), 0 \leq x < 1$$

その後、b(x)及びpf(y)の平均二乗誤差(MSE)を計算することによって形状特徴(Shape Feature)が得られる。

【数2】

$$\text{Shape Feature} = \frac{1}{N} \sum_{i=1}^N (pf(y_i) - b(x_i))^2$$

ただし、Nはピーク流量ベクトルの大きさであり、pf(y)はShapeFeatVecである。

【 0 0 5 7 】

ジャンプ特徴

ジャンプ特徴235は、形状特徴の一例であり、閉塞性無呼吸/呼吸低下と中枢性無呼吸/呼吸低下とを区別するために用いることもできる。図5A及び図5Bを比較することによって理解できるように、閉塞性事象後の同等の過呼吸期間と比べると、中枢性事象後のピーク流量のジャンプの振幅変化(ジャンプ特徴)は緩やかである。これは、中枢性無呼吸後に呼吸ドライブがゆっくり戻ってくることに関連する。CSRは単に高密度の中枢性無呼吸/呼吸低下を伴う期間であるので、通常のOSAと比べると、CSR事象中の流量形態には明らかな相違がある。

【 0 0 5 8 】

ジャンプ特徴を計算するのに多数の方法がある。そのような計算において、最大及び/又は最小吸気/呼気流量のピークを用いることができる。代替的には、無呼吸/呼吸低下間に吸気流量計算器から得られた吸気/呼気1回換気量を用いることができる。代替的には、無呼吸間及び/又は呼吸低下間に計算された換気値を形態ベクトルに蓄積することができる。その後、上記のようにパターンを抽出することができる任意の数の技法によって、ジャンプ特徴を計算することができる。一例として、ジャンプ特徴は、以下のステップを実施することにより計算することができる。

1. 形態ベクトル内の第1のピーク - Pmaxを見つける
2. ピークに対する所定の比に達する点を見つける。所定の比は、60%~95%、好ましくは70%~90%、一例では、85%(ピークの85%に達する点はP₈₅と呼ばれる場合もある)等の、ピークの或るパーセンテージとすることができる。
3. 形態ベクトル内のP₈₅と第1の点(P₀)との間の勾配を計算する。
4. その勾配に対して任意の必要なスケーリングを適用し、そのスケーリング済み勾配をジャンプ特徴として設定する。

上記の説明はジャンプ特徴を計算する1つのタイプの例にすぎないことに留意されたい。無呼吸後の呼吸ドライブの回復を定量化しようと試みる任意の他の方法を用いて、ジャンプ特徴を計算することができる。例えば、ジャンプ特徴は、図2に示されるように、呼

10

20

30

40

50

吸流量に基づいて計算できるだけでなく、換気データ又は1回換気量データに基づいて計算することもできる。そのような関数の積分される性質に起因して、それらのプロファイルは、呼吸ドライブプロファイル包絡線230と視覚的に比較することができる。この場合、上記の例と同様に、包絡線のピークと、ピークに対して所定の比に達する包絡線上の点との間に描かれる線の勾配を計算することによって、ジャンプ特徴を導出することができる。

【0059】

デューティサイクル

上記で言及されたように、デューティサイクルは、無呼吸長とサイクル長との比とすることができる。通常のチェーンストークス患者の場合、このデューティサイクルは、約1/3であると予想される（例えば、60秒サイクル長内の20秒無呼吸）。必然的に患者によって違いがあることに起因して、その比もわずかに異なる場合がある。数学的には、デューティサイクル(Duty Cycle)は以下のように計算される。

10

【数3】

$$\text{Duty Cycle} = \frac{t_{apnea}}{t_{cycle}}$$

【0060】

サイクル長ヒストグラム、形状特徴及びデューティサイクルの3つの未加工の特徴が計算されると、その後、特徴分類器を用いて、得られたパターンがCSRに対応するか否か、及びCSR期間が経過したか否かを判断することができる。再び、未加工の特徴の個々の特徴、任意の組み合わせ、又は全てを分類し、使用して、CSRを検出できることに留意することができる。これは、未加工の特徴と、CSRを表す1組のしきい値（実験的に決定することができる）とを比較することによって果たすことができる。さらに、未加工の特徴を分類し、CSRを検出するために、異なる方法が用いられる場合があることは理解されよう。例えば、本明細書において論じられるように、未加工の特徴は、検出用の(0, 1]確率空間に変換することができる。代替的には、アルゴリズムが、ベイズ分類システム、ニューラルネットワーク、クラスタリング法及び/又は未加工の特徴を評価する他の機械学習アルゴリズムを符号化することができる。

20

【0061】

一例では、その分類プロセスは、得られた未加工の特徴を正規化することができる。これは、変換関数を使用し、未加工の特徴を、0~1の任意の値をとることができる確率空間に変換することによって成し遂げることができる。

30

【0062】

形状特徴変換関数は以下のように表すことができる。

【数4】

$$f(x) = \begin{cases} 1, & x \leq 0 \\ 0, & x > 1 \\ (\sin(-(x - \frac{\pi}{2})) + 1), & 0 < x \leq 1 \end{cases}$$

40

ただし、xは未加工の形状特徴である。

【0063】

さらに、サイクル長ヒストグラムピーク位置変換関数は以下のように表すことができる。

。

【数5】

$$\text{NormHist} = \begin{cases} 0, & p < 35, p \geq 90 \\ 0.5, & 35 \leq p < 45 \\ 1, & 45 \leq p < 90 \end{cases}$$

ただし、 p は、サイクル長ヒストグラムからの最も高いピークを有するビンの中点である。

【0064】

サイクル長ヒストグラムから、対象領域内のパワーを計算することもできる。パワーは1つ又は複数の所定の領域において計算することができる。対象領域は、特定の1組のサイクル長に及ぶビンの組み合わせと定義することができる。上記で論じられたように、サイクル長ヒストグラムは、0秒～110秒に間隔を置いて配置される種々のビンを有する。CSR期間中に、平均サイクル長は40秒～90秒であると予想される。したがって、一例では、対象領域は、40秒～90秒のサイクル長に及ぶビンと定義することができる。

10

【0065】

ヒストグラムパワー変換関数は種々の方法において計算することができる。一例では、対象領域内のパワーは、最初に p 、すなわち、最大カウントを有するビンの中点と、 p Count、すなわち、そのビン内のカウントとを計算することによって、サイクル長ヒストグラムから計算される。次に、そのプロセスは、 $p2$ 、すなわち、2番目に高いカウントを有するビンの中点と、 $p2$ Count、すなわち、そのビン内のカウントとを計算する。パワー $C(p)$ は、以下のように計算される。

20

【数6】

$$C(p) = \begin{cases} 0, & p < 35 \\ \sqrt{(p\text{Count}^2 + p2\text{Count}^2)}, & 35 \leq p < 90, p2 \leq 35, p2 \geq 90 \\ p\text{Count} + p2\text{Count}, & 35 \leq p < 90, 35 < p2 < 90 \end{cases}$$

【0066】

CSR確率の計算

その後、CSR確率、 CSRprob は、形状特徴 $J(x)$ 、ヒストグラムパワー $C(p)$ 及びデューティサイクルの積として計算することができる。

30

【数7】

$$\text{CSRprob} = \begin{cases} \frac{A \cdot J(x) + B \cdot C(p), & 0.2 \leq \text{DutyCycle} \leq 0.7}{0, \text{Otherwise}} \end{cases}$$

【0067】

上記の計算において、 A 及び B は、トレーニングすることができる定数である。これらの定数は、任意の実数に及ぶことができるが、0～1の値に設定される場合がある。例示するために、 A の値は0.3に設定することができ、 B の値は0.7に設定することができる。

40

【0068】

CSR期間ごとに、 $\text{CSRprob} > 0.5$ であり、かつ CSR_PERIOD_TIMER が MIN_CSR_PERIOD と呼ばれる所定の期間より長い場合には、 CSR_FLAG は真に設定される。この期間は、無呼吸及び呼吸低下を含む期間が所定の時間より長く継続する場合にのみ、その期間をCSR期間と見なす一般要件に関連付けられる。 MIN_CSR_PERIOD は、検出されたCSR事象がCSRと見なすのに短すぎ

50

ないのを確実にするために実験的に求められた任意の臨床的に受け入れられる数値を有するようにあらかじめ規定することができる。一例では、MIN_CSR_PERIODは、900秒とすることができる。

【0069】

上記の式によれば、必要に応じて、これらの特徴のそれぞれの寄与のバランスをとるために、形態に関連する形状特徴及び時間に基づくヒストグラムを重み付けできるようになることは理解されよう。

【0070】

評価ステップ406において、CSRprob > 0.5であり、かつMIN_CSR_PERIODが経過していなかった場合には、CSR_FLAGは偽に設定される。CSRprob < 0.5である場合にも、CSR_FLAGは偽に設定される。各期間のCSR持続時間は、その期間の最後においてCSR_PERIOD_TIMERの値から取り込まれる。

10

【0071】

所与のCSR期間のためのCSRprobを計算した後に、例えば、複数のCSR期間から、全睡眠時間にわたるCSR確率を計算することもできる。少なくとも幾つかの例では、全睡眠時間にわたる全CSR確率は、例えば、CSR_FLAG = 真の期間を特定することにより、フラグを立てられたCSR期間ごとにCSR確率を処理することによって計算することができる。一例では、これは、単純な算術平均によって、フラグを立てられたCSR期間ごとのCSR確率を平均し、全睡眠時間中の全体的なCSR確率を得ることによって実行することができる。

20

【0072】

別のCSR確率計算は、HistPower及び形状特徴J(x)を使用することを伴うことができる。この場合、CSRprob計算は以下のように実行される。

- 1. J(x)及びC(p)ごとに、D(x, p)を計算し、ステップ2に進む。

【数8】

$$i. D(x,p) = 1 - \sqrt{((1-C(p))^2 * (1-J(x))^2)}$$

- 2. i. 1 - D(x, p) > 0.3である場合には、CSRprob = D(x, p)を設定する。

30

- ii. そうでない場合には、ステップ3に進む。

- 3. 1 - D(x, p) > 0.3の場合に、
 - i. C(p)が0.5以上の場合には、

【数9】

$$CSRprob = \frac{(C(p) + (D(x,p)))}{(1 + (D(xp)))}$$

それ以外の場合には、

40

- ii. CSRprob = 0

【0073】

図6は、中心点から延在する異なる半径上に位置する3つの点P1、P2及びP3によって視覚化された事例を示す。ただし、C(p) = 1、J(x) = 1及びCSRprob = 1である。

点P1

$$C(p) = 0.8 ; J(x) = 0.8 ; D1(x, p) = 0.92$$

1 - D(x, p) > 0.3であるので、CSRprobは単にD(x, p) = 0.92と見なされる。

点P2

50

$C(p) = 0.6$; $J(x) = 0.2$; $D_2(x, p) = 0.11$
 $1 - D(x, p) > 0.3$ であり、かつ $C(p) > 0.5$ であるので、

【数10】

$$CSR_{prob} = \frac{(C(p) + (D(x, p)))}{(1 + (D(x, p)))} = 0.56$$

点P3

$C(p) = 0.4$; $J(x) = 0.8$; $D_3(x, p) = 0.37$

$1 - D(x, p) > 0.3$ であり、かつ $C(p) < 0.5$ であるので、 $CSR_{prob} = 0$

10

【0074】

別の例では、その分類プロセスは、変換関数を使用し、未加工の特徴を、それらの特徴が0～1のいずれかの値をとることができる確率空間に変換することによって、形状特徴（例えば、ジャンプ特徴）及びサイクル長ヒストグラム等の得られた未加工の特徴のいずれかを正規化することができる。その後、統計分析方法を適用して、特徴を分類し、そこからCSR確率を導出する。

【0075】

一実施形態では、統計分析は、ノンパラメトリック分析を用いて、変換された特徴を分類することを含むことができる。より具体的には、ヒストグラムを形成し、処理して、特徴を分類することができる。ヒストグラムは、変換された特徴の統計データを分析するために用いることができる数多くの技法のうちの一つにすぎないことに留意されたい。一例として、以下のステップに従って、CSR確率を導出することができる。

20

1. 変換された特徴をビンに分配し、ヒストグラム（例えば、形状特徴又はジャンプ特徴）を形成する。

2. 領域(0.5, 1.0)内のヒストグラムのパワーを計算する。

3. 全てのヒストグラムのパワーが、設定されたしきい値（例えば、0.5）より大きい場合には、CSR確率(CSR_{prob})がヒストグラムパワーの最大値と見なされる。

【0076】

$CSR_{prob} > 0.5$ であり、かつ CSR_PERIOD_TIMER が MIN_CSR_PERIOD より大きい場合には、 CSR_FLAG は真に設定される。 $CSR_{prob} > 0.5$ であり、かつ MIN_CSR_PERIOD が経過していなかった場合には、 CSR_FLAG を偽に設定する。 $CSR_{prob} < 0.5$ である場合には、 CSR_FLAG を偽に設定する。

30

【0077】

上記のステップ1～3において、中心点付近にある範囲を示すために、0.3のしきい値が或る程度恣意的に選択されたことは図6から明らかであろう。しかしながら、他の値、例えば、0.1～0.6の範囲内に値を選択することができ、定義により<1の値を選択することができる。

40

【0078】

図7は、CSR期間の検出に關与する幾つの特徴を共通の時間軸上で示す、通常のCSR期間の睡眠ポリグラフ記録である。図示されるCSR期間は2時間にわたって延在する。睡眠ポリグラフ記録のパネル750は、患者の呼吸流量を表す信号を表示する。パネル710は、呼吸低下の発生を示す呼吸低下フラグ信号を含み、一方、パネル720は、無呼吸の発生を示す無呼吸フラグ信号を示す。パネル740は、図4を参照しながら論じられた $CSR_CYCLE_LENGTH_TIMER$ を表す信号を表示し、その信号は、無呼吸又は呼吸低下が発生するときに0から再開される。パネル760は、システムがin-CSR期間にあることを示す CSR_PERIOD_TIMER を表す信号を表示し、一方、パネル730は、CSRが陽性であることが検出されたという通知を与えるC

50

SR_FLAG信号を含む。

【0079】

CSR_PERIOD_timerは、無呼吸又は呼吸低下が発生するときにカウント動作を開始し、CYCLE_LENGTH_TIMERがCSRタイムアウトしきい値に達するまでカウント動作を保持する（パネル760に表示される値がクリップされる場合であっても、その値は累積し続ける）。この段階では、CSRフラグは、計算された期間のためのCSRProbが0.5より大きく、かつCSR_PERIOD_TIMERがMIN_CSR_PERIODより大きい場合に真に設定される。図6に示されるシナリオの場合、CSRProb = 0.76であり、かつCSR_PERIOD_TIMERの値はMIN_CSR_PERIODより大きいので、CSR_FLAGが設定され、有効

10

【0080】

図7において、点Aと点Bとの間に暫定in-CSR期間が延在する。2つの無呼吸事象間、この場合には呼吸低下H1とH2との間の時間が、CSR_CYCLE_LENGTH_TIMERが点線tによって示されるMIN_CSR_PERIOD時間しきい値に達することができるのに十分であるときに、開始点Aがトリガされる。パネル710及び720内の無呼吸及び呼吸低下の密度は、パネル740内のCSR_CYCLE_LENGTH_TIMERが再始動し続け、点Bにおいてのみ再びMIN_CSR_PERIODに達するほどの密度であり、点Bは呼吸低下H3とH4との間の同様に大きな距離によって与えられる。この時点において、CSR特徴が分類される。CSRProbの評価は0.76を返し、CSR_PERIOD_TIMERが約2時間にわたってカウントされており、MIN_CSR_PERIODを十分に上回るので、CSR_FLAGが、「F」によって示されるように設定される。

20

【0081】

他の処理方法は、期間ごとに、CSR確率、すなわち、CSRprobに対して重み付け係数を導入することを含むことができる。そのような重み付け係数は、例えば、それぞれのCSR期間の持続時間、又は平均デューティサイクルによって決まる場合がある。通常のCSR期間の予想持続時間及び予想デューティサイクルがわかるとき、持続時間及び/又はデューティサイクルが予想値に近い場合には、1つ又は複数の期間に対するCSRprobを重み付けして、CSRの高い可能性を反映させることができる。

30

【0082】

最後に、フラグを立てられた全てのCSR期間の総合持続時間と全睡眠時間との間の比として、CSR持続時間比を計算することができる。全CSR確率及びCSR持続時間比は、検出されたCSRの量及び臨床的有意性を示すことができる。その後、総合持続時間、夜間のCSRフラグ数、各CSR期間の持続時間、及びこれらの期間のそれぞれに関連付けられる計算されたCSR確率を用いて、データをLCD又は他の出力デバイスに出力する等によって、CSRの確率及び重症度を示すことができる。

【0083】

したがって、本技術の実施形態は、本明細書において更に詳細に説明される分類器、しきい値、関数及び/又はアルゴリズム等の特定のCSR検出及び/又はトレーニング方法を実施する、1つ又は複数のプロセッサを有するデバイス又は装置を含むことができる。したがって、そのデバイス又は装置は、集積チップ、メモリ、及び/又は他の制御命令、データ又は情報記憶媒体を含むことができる。例えば、そのような検出及び/又はトレーニング方法を含むプログラミングされた命令を、流れ発生器等のデバイス又は装置のメモリ内の集積チップにコーディングすることができる。そのような命令は、更に、又は代替的に、適切なデータ記憶媒体を用いてソフトウェア又はファームウェアとしてロードすることができる。CSRを検出するために、そのようなプロセッサを有するコントローラを備える、流量を生成するための呼吸治療デバイスを用いることもできる。そのプロセッサは、本明細書において更に詳細に論じられる実施形態において説明されるようなCSR発生又は確率の検討評価を制御することができる。幾つかの実施形態では、プロセッサ制御

40

50

命令は、汎用コンピュータによって使用するためのソフトウェアとしてコンピュータ可読記録媒体内に含まれる場合があり、そのソフトウェアを汎用コンピュータにロードすると、汎用コンピュータが、本明細書において論じられた方法のいずれかによる特定用途コンピュータとしての役割を果たすことができるようになる。

【0084】

本技術によるCSR検出デバイス（又は装置、若しくは同等の汎用コンピュータ）の一例のアーキテクチャの概略図が図8に示される。図では、CSR検出デバイス801は、1つ又は複数のプロセッサ808を有することができる。デバイスは、本明細書に記載したCSR検出レポート、結果又はグラフをモニター又はLCDパネル（図示せず）等に出力するディスプレイインターフェース810を有することもできる。本明細書に記載した方法を起動するように、例えばキーボード、マウス等のためのユーザ制御/入力インターフェース812を設けることができる。デバイスはまた、プログラミング命令、酸素測定データ、流量データ等のデータ、呼吸信号データを受け取るセンサ又はデータインターフェース814を含むこともできる。デバイスはまた、通常、メモリ/データ記憶コンポーネントも有することができる。これらは、本明細書においてより詳細に説明されるように、822において信号処理（例えば、再処理方法、フィルター）に対するプロセッサ制御命令を含むことができる。それらはまた、824において分類器トレーニング方法に対するプロセッサ制御命令も含むことができる。それらはまた、本明細書において論じられるように、826において、呼吸データに基づくCSR検出方法（例えば、特徴抽出方法、分類方法等）に対するプロセッサ制御命令も含むことができる。最後に、それらはまた、検出されたCSR事象/確率、閾値/判別関数、サイクル長ヒストグラム特徴、事象特徴、流量データ、CSRレポート、平均再飽和持続時間、再飽和期間等、これらの方法に対する格納されたデータ828を含むこともできる。

【0085】

図9に示されるように、本技術の実施形態は、本明細書において更に詳細に説明されるアルゴリズム等の特定のCSR検出方法を実施する、1つ又は複数のプロセッサを有することができるコントローラ904を有するCSR検出デバイス又は装置を含むことができる。したがって、そのデバイス又は装置は、集積チップ、メモリ、及び/又は他の制御命令、データ又は情報記憶媒体を含むことができる。例えば、特定用途向け集積チップ（ASIC）を形成するために、そのような検出方法を含むプログラミングされた命令をデバイス又は装置のメモリ内の集積チップにコーディングすることができる。

【0086】

そのような命令は、更には又は代替的には、適切なデータ記憶媒体を用いてソフトウェア又はファームウェアとしてロードすることができる。流量信号からのデータを処理するために、そのようなコントローラ又はプロセッサを備えるデバイスを用いることができる。したがって、そのプロセッサは、以前の睡眠セッションから測定され、記録された呼吸流量データに基づいて、本明細書において更に詳細に論じられた実施形態において説明されるようなCSR発生又は重症度の評価を制御することができる。代替的には、その検出は睡眠セッション中に呼吸流量信号を測定すると同時に実行することができる。したがって、幾つかの実施形態では、デバイス又は装置自体が、オプションで、実施される方法とともに用いるための呼吸流量信号を測定する流量センサ906を実装される場合がある。例えば、呼吸流量計及び差圧変換器、又は一束の管若しくはダクトを利用して流量信号を導出するデバイス等の類似のデバイスを用いて、鼻カニューレ908又はマスクまでの流量、又はそこを通り抜ける流量を測定することができる。オプションで、2005年11月2日に出願の国際特許出願PCT/AU2005/001688号において記述されるようなモータ電流センサ等の他のセンサから流量信号を推測することができ、その開示全体が参照することにより本明細書の一部をなすものとする。

【0087】

更なる例として、そのCSR検出デバイスは、呼吸治療装置として、検出されたCSRに回答する制御方法を実施することができる。例えば、図9に示されるように、検出デバ

10

20

30

40

50

イスはオプションで、そのような制御に適したセンサ（例えば、圧力センサ）を備えるサーボ制御式送風機等の流れ発生器を実装される場合がある。C P A P 治療に関連付けられる治療圧レベル等の呼吸治療又は圧力療法をデバイスのコントローラによって送達することができる。そのような治療圧レベルは、本明細書において説明されるようなC S R 条件の検出に応答して自動的に調整することができる。例えば、C S R の検出時に、圧力レベルを規定量だけ高めることができるか、又は別の方法で変更することができる。オプションで、圧力レベルは、検出されたC S R 重症度の関数として比例的に高めることができる。

【0088】

本技術が方法（例えば、順次プロセス又はアルゴリズム）に関して説明されてきたが、そのプロセス又はアルゴリズムは、非線形、非順次又は非段階的プロセスを用いて実行することもできるし、プロセスの順序を変更することもできることを理解することができる。上記の技術はプロセス全体に関連するが、その技術の態様は、そのプロセスの一部のみに関連する場合もある。

【0089】

実際的かつ好ましい実施例であると現時点で考慮されることに関連して本技術について説明したが、本技術は、開示した実施形態には限定されるべきではなく、逆に、本技術の趣旨及び範囲内に含まれるさまざまな変更及び等価構成を包含するように意図されていることを理解されたい。

なお、出願当初の特許請求の範囲は以下の通りである。

（請求項1）

呼吸信号からチェーンストークス呼吸の存在を検出するプロセッサの方法であって、該方法は、

前記呼吸信号を表すデータにアクセスするステップと、

前記アクセスされたデータを検討評価して、無呼吸事象及び/又は呼吸低下事象を検出するステップと、

前記事象に基づいてサイクル長ヒストグラムを生成するステップと、

前記サイクル長ヒストグラムに基づいて、チェーンストークス呼吸の事例を検出するステップと、

を含む、方法。

（請求項2）

前記サイクル長ヒストグラムは複数のピンを含み、該複数のピンはそれぞれ中点及びピン幅を有する、請求項1に記載の方法。

（請求項3）

前記複数のピンは均等な間隔で配置される、請求項2に記載の方法。

（請求項4）

前記アクセスされたデータを検討評価して、無呼吸事象及び/又は呼吸低下事象を検出するステップは、各事象の持続時間を求めるステップを含む、請求項1乃至3のいずれか一項に記載の方法。

（請求項5）

前記チェーンストークス呼吸の事例を検出するステップは、選択された1組のサイクル長に及ぶピンの組み合わせにわたって電力を計算するステップを含む、請求項2乃至4のいずれか一項に記載の方法。

（請求項6）

無呼吸事象又は呼吸低下事象直後の呼吸データを評価して、前記呼吸データの変化を表す形状特徴を推定するステップを更に含み、前記チェーンストークス呼吸の事例を検出するステップは、前記生成されたサイクル長ヒストグラム及び前記推定された形状特徴に基づく、請求項1乃至5のいずれか一項に記載の方法。

（請求項7）

前記形状特徴は、患者の呼吸ドライブの立ち上がり及び立ち下りのうちの少なくとも

10

20

30

40

50

一方を表す、請求項 6 に記載の方法。

(請求項 8)

前記形状特徴はジャンプ特徴である、請求項 6 に記載の方法。

(請求項 9)

前記ジャンプ特徴は、前記呼吸データの第 1 のピークを選択し、該第 1 のピークの所定の比にある第 2 のピークを選択し、前記第 1 のピークと前記第 2 のピークとの間の勾配を計算することによって計算される、請求項 8 に記載の方法。

(請求項 10)

前記第 1 のピークと前記第 2 のピークとの間の前記勾配をスケールリングするステップを更に含む、請求項 9 に記載の方法。

10

(請求項 11)

前記形状特徴は、前記呼吸データに近似関数を当てはめることによって推定される、請求項 7 又は 8 に記載の方法。

(請求項 12)

前記呼吸データは呼吸流量ピークの値又は 1 回換気量の値を含む、請求項 6 に記載の方法。

(請求項 13)

呼吸信号からチェンストークス呼吸の存在を検出する装置であって、

前記呼吸信号に関連付けられる呼吸データを記憶するメモリと、

前記メモリに結合されるプロセッサであって、該プロセッサは、(a) 前記呼吸データを検討評価して、無呼吸事象及び/又は呼吸低下事象を検出し、(b) 前記事象に基づいてサイクル長ヒストグラムを生成し、(c) 前記サイクル長ヒストグラムに基づいてチェンストークス呼吸の事例を検出するように構成される、プロセッサと、
を備える、装置。

20

(請求項 14)

前記プロセッサは、無呼吸事象又は呼吸低下事象直後の呼吸信号を評価して、前記呼吸データの変化を表す形状特徴を推定し、前記サイクル長ヒストグラム及び前記形状特徴に基づいてチェンストークス呼吸の事例を検出するように更に構成される、請求項 13 に記載の装置。

(請求項 15)

前記形状特徴は患者の呼吸ドライブの立ち上がり及び立ち下がりのうちの少なくとも一方を表す、請求項 14 に記載の装置。

30

(請求項 16)

前記プロセッサは、前記呼吸信号の呼吸流量ピークの値、換気の値、又は 1 回換気量の値、の少なくとも 1 つを評価するように構成される、請求項 14 に記載の装置。

(請求項 17)

呼吸信号からチェンストークス呼吸の存在を検出するプロセッサの方法であって、

前記呼吸信号を表す呼吸データにアクセスするステップと、

前記アクセスされた呼吸データを検討評価して、無呼吸事象及び/又は呼吸低下事象を検出するステップと、

40

前記無呼吸事象又は前記呼吸低下事象直後の呼吸データを評価して、前記呼吸データの変化を表す形状特徴を推定するステップと、

前記形状特徴に基づいてチェンストークス呼吸の事例を検出するステップと、
を含む、方法。

(請求項 18)

前記呼吸データを評価することは、2 つの隣接する無呼吸事象及び/又は呼吸低下事象間の時間の少なくとも一部の間に吸気 1 回換気量を計算することを含む、請求項 17 に記載の方法。

(請求項 19)

前記呼吸データを評価することは、ピーク吸気流量データと吸気 1 回換気量との積を計

50

算することと、前記積を形態ベクトルに蓄積することを含む、請求項 17 又は 18 に記載の方法。

(請求項 20)

呼吸データを評価することは、前記形態ベクトルと近似関数との間の平均二乗誤差を計算することを更に含む、請求項 19 に記載の方法。

(請求項 21)

呼吸データを評価することは、無呼吸事象及び / 又は呼吸低下事象間の前記流量データを積分することと、前記流量データを形態ベクトルに蓄積することを含む、請求項 19 に記載の方法。

(請求項 22)

呼吸データを評価することは、前記形態ベクトルと近似関数との間の平均二乗誤差を計算することを更に含む、請求項 21 に記載の方法。

(請求項 23)

前記事象に基づいてサイクル長ヒストグラムを求めるステップを更に含み、前記チェーンストークス呼吸の事例を検出するステップは、前記サイクル長ヒストグラム及び前記形状特徴に基づく、請求項 17 乃至 20 のいずれか一項に記載の方法。

(請求項 24)

前記形状特徴は、患者の呼吸ドライブの立ち上がり及び立ち下がりのうちの少なくとも一方を表す、請求項 17 に記載の方法。

(請求項 25)

呼吸信号からチェーンストークス呼吸の存在を検出する装置であって、前記呼吸信号に関連付けられる呼吸データを記憶するメモリと、前記メモリに結合されるプロセッサであって、該プロセッサは、(a) 前記呼吸信号に関連付けられる前記呼吸データを検討評価して、無呼吸事象及び / 又は呼吸低下事象を検出し、(b) 前記無呼吸事象又は前記呼吸低下事象直後のデータ内のピークを評価して、前記呼吸データの変化を表す形状特徴を推定し、(c) 前記形状特徴に基づいてチェーンストークス呼吸の事例を検出するように構成される、プロセッサと、を備える、装置。

(請求項 26)

前記呼吸信号に関連付けられる前記データは流量データ及び 1 回換気量データを含み、前記プロセッサは、ピーク吸気流量データ及び吸気 1 回換気量を計算し、前記ピーク吸気流量データと吸気 1 回換気量との積を計算し、該積を形態ベクトルに蓄積するように構成される、請求項 25 に記載の装置。

(請求項 27)

前記プロセッサは、前記形態ベクトルと近似関数との間の平均二乗誤差を計算することによって、前記流量データ内のピークを評価するように構成される、請求項 25 又は 26 に記載の装置。

(請求項 28)

前記プロセッサは、前記形態ベクトルを 0 ~ 1 の確率空間に変換することによって前記形態ベクトルを正規化するように構成される、請求項 26 に記載の装置。

(請求項 29)

前記形状特徴は、患者の呼吸ドライブの立ち上がり及び立ち下がりのうちの少なくとも一方を表す、請求項 25 に記載の装置。

(請求項 30)

呼吸信号からチェーンストークス呼吸の存在を検出するプロセッサの方法であって、該方法は、前記呼吸信号を表す呼吸流量データにアクセスするステップと、前記アクセスされた呼吸流量データを検討評価して、無呼吸事象及び / 又は呼吸低下事象を検出するステップと、

10

20

30

40

50

前記事象に基づいてサイクル長ヒストグラムを求めるステップと、
前記無呼吸事象又は前記呼吸低下事象直後の前記流量データ内のピークを評価して、前記流量データの前記ピークの変化を表す形状特徴を推定するステップと、
前記サイクル長ヒストグラム及び前記形状特徴に基づいて、チェーンストークス呼吸の事例を検出するステップと、
を含む、方法。

(請求項 3 1)

前記サイクル長ヒストグラム及び前記形状特徴を 0 ~ 1 の確率空間に変換することによって、前記サイクル長ヒストグラム及び前記形状特徴を正規化するステップを更に含む、請求項 3 0 に記載の方法。

10

(請求項 3 2)

前記アクセスされたデータを検討評価して、無呼吸事象及び / 又は呼吸低下事象を検出するステップは、少なくとも 1 つの無呼吸期間の持続時間及び少なくとも 1 つのサイクル長を計算するステップを含み、前記少なくとも 1 つの無呼吸期間の持続時間及び前記少なくとも 1 つのサイクル長に基づいてデューティサイクルを計算するステップを更に含む、請求項 3 0 又は 3 1 に記載の方法。

(請求項 3 3)

前記チェーンストークス呼吸の事例を検出するステップは、選択された 1 組のサイクル長に及ぶピンの組み合わせにわたって電力を計算するステップを含む、請求項 3 0 乃至 3 2 のいずれか一項に記載の方法。

20

(請求項 3 4)

前記チェーンストークス呼吸の事例を検出するステップは、前記形状特徴、前記サイクル長、及び前記電力を用いてチェーンストークス呼吸の確率を求めるステップを含む、請求項 3 3 に記載の方法。

(請求項 3 5)

複数の選択された期間にわたって、重み付けされたチェーンストークス呼吸確率を結合することによって、全睡眠期間にわたる全チェーンストークス呼吸確率を求めるステップを更に含む、請求項 3 4 に記載の方法。

(請求項 3 6)

前記形状特徴は患者の呼吸ドライブの立ち上がり及び立ち下りのうちの少なくとも一方を表す、請求項 3 0 に記載の方法。

30

(請求項 3 7)

呼吸信号からチェーンストークス呼吸の存在を検出する装置であって、
前記呼吸信号に関連付けられる呼吸データを記憶するメモリと、
前記メモリに結合されるプロセッサであって、該プロセッサは、(a) 前記呼吸データを検討評価して、無呼吸事象及び / 又は呼吸低下事象を検出し、(b) 前記事象に基づいてサイクル長ヒストグラムを求め、(c) 前記無呼吸事象又は前記呼吸低下事象直後の前記呼吸データの変化を評価して、形状特徴を推定し、(d) 前記サイクル長ヒストグラム及び前記形状特徴に基づいてチェーンストークス呼吸の事例を検出するように構成される、プロセッサと、
を備える、装置。

40

(請求項 3 8)

前記プロセッサは、少なくとも 1 つの無呼吸期間の持続時間及び少なくとも 1 つのサイクル長を計算することによって、前記データを検討評価して無呼吸事象及び / 又は呼吸低下事象を検出し、前記プロセッサは、前記少なくとも 1 つの無呼吸期間の持続時間及び前記少なくとも 1 つのサイクル長に基づいてデューティサイクルを計算するように更に構成される、請求項 3 7 に記載の装置。

(請求項 3 9)

前記プロセッサは、選択された 1 組のサイクル長に及ぶピンの組み合わせにわたって電力を計算し、前記形状特徴、前記サイクル長及び前記電力を用いてチェーンストークス呼

50

吸確率を求めることによって、チェーンストークス呼吸の事例を検出するように構成される、請求項 3 8 に記載の装置。

(請求項 4 0)

前記形状特徴は患者の呼吸ドライブの立ち上がり及び立ち下りのうちの少なくとも一方を表す、請求項 3 7 に記載の装置。

(請求項 4 1)

呼吸信号からチェーンストークス呼吸(CSR)を検出する装置であって、該装置は、前記呼吸信号を表す呼吸データにアクセスする少なくとも1つのプロセッサを有するコントローラを備え、

該コントローラは、(a)前記呼吸データを検討評価して、無呼吸事象及び/又は呼吸低下事象を検出し、(b)前記事象に基づいてサイクル長ヒストグラムを求め、(c)前記無呼吸事象又は前記呼吸低下事象直後の呼吸データを評価して、形状特徴を計算し、(d)前記サイクル長ヒストグラム及び前記形状特徴に基づいてチェーンストークス呼吸の事例を検出するように更に構成される、装置。

10

(請求項 4 2)

前記呼吸データは、呼吸流量データ、換気データ、又は1回換気量データを含み、前記形状特徴の計算は、前記呼吸流量データ、前記換気データ、及び前記1回換気量データのうちの少なくとも1つの値に基づく、請求項 4 1 に記載の装置。

(請求項 4 3)

流量センサを更に備え、前記コントローラは、前記流量センサを用いて前記呼吸信号を求めるように更に構成される、請求項 4 1 又は 4 2 に記載の装置。

20

(請求項 4 4)

大気圧より高い圧力において患者用の呼吸可能ガスを生成するように構成される流れ発生器を更に備え、

前記コントローラは、前記検出された無呼吸事象及び/又は呼吸低下事象に基づいて、圧力療法に従って前記呼吸可能ガスを生成するよう前記流れ発生器を制御するように更に構成される、請求項 4 3 に記載の装置。

(請求項 4 5)

前記形状特徴は、患者の呼吸ドライブの立ち上がり及び立ち下りのうちの少なくとも一方を表す、請求項 4 1 に記載の装置。

30

(請求項 4 6)

呼吸流量信号からチェーンストークス呼吸の存在を検出する装置であって、該装置は、前記呼吸流量信号に関連付けられる呼吸データを記憶するメモリと、

前記メモリと結合されるプロセッサであって、該プロセッサは、(a)前記呼吸データを検討評価して、無呼吸事象及び/又は呼吸低下事象を検出し、(b)サイクル長、形状特徴、及びデューティサイクルから選択された未加工の特徴を計算し、(c)前記未加工の特徴を正規化し、(d)前記未加工のデータを分類するように構成される、装置。

(請求項 4 7)

前記プロセッサは、変換関数を用いて前記未加工の特徴を正規化し、前記未加工の特徴を0~1の値を有する確率空間に変換するように構成される、請求項 4 6 に記載の装置。

40

(請求項 4 8)

前記プロセッサは、1つ又は複数のヒストグラムを作成し、前記未加工の特徴をそれぞれ分類することによって、1つ又は複数の未加工の特徴を分類するように構成される、請求項 4 6 又は 4 7 に記載の装置。

(請求項 4 9)

前記プロセッサは、前記未加工の特徴をビンに区分して、前記1つ又は複数のヒストグラムを作成し、1つ又は複数の所定の領域において前記ヒストグラムの電力を計算し、前記ヒストグラムのそれぞれの前記電力が所定のしきい値より高い場合には、チェーンストークス呼吸の確率を前記計算されたヒストグラム電力の最大値になるように設定することによって、前記未加工の特徴を分類するように構成される、請求項 4 8 に記載の装置。

50

【図1】

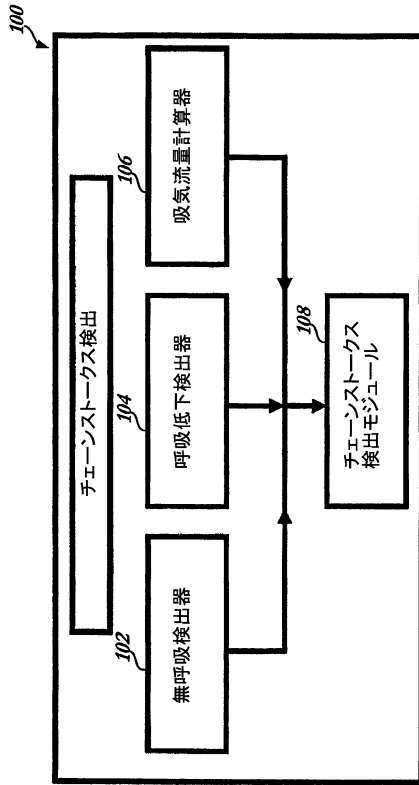


FIG. 1

【図2】

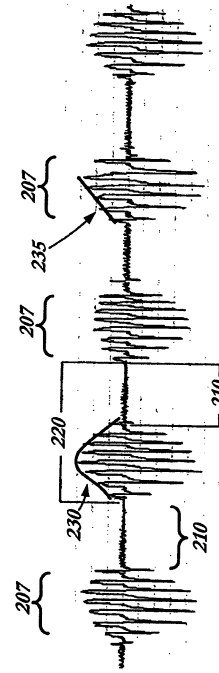


FIG. 2

【図3】

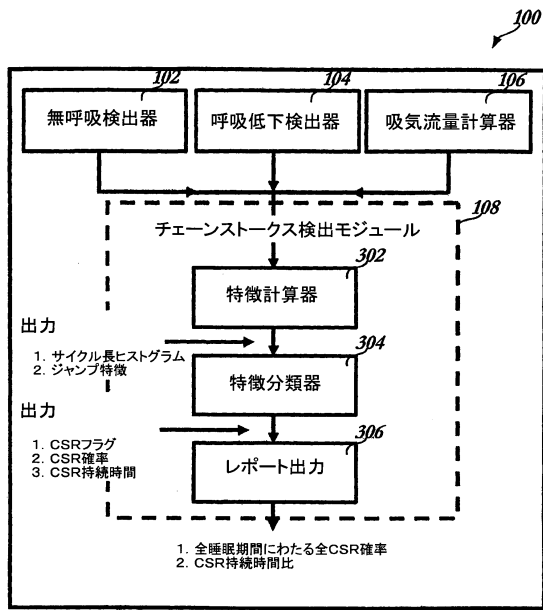


FIG. 3

【図4】

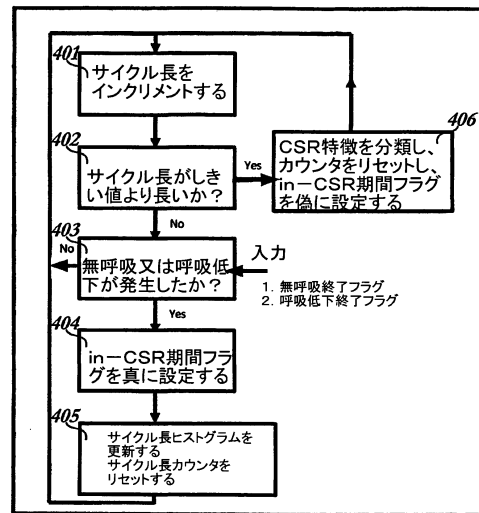


FIG. 4

【 図 5 A 】

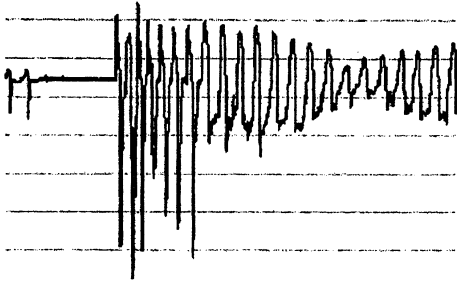


FIG. 5A

【 図 5 B 】

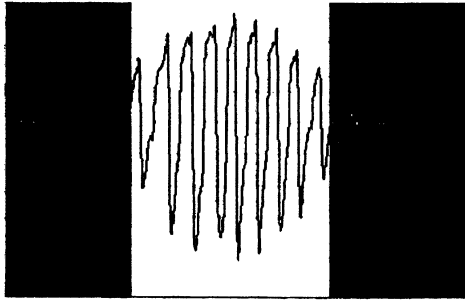


FIG. 5B

【 図 6 】

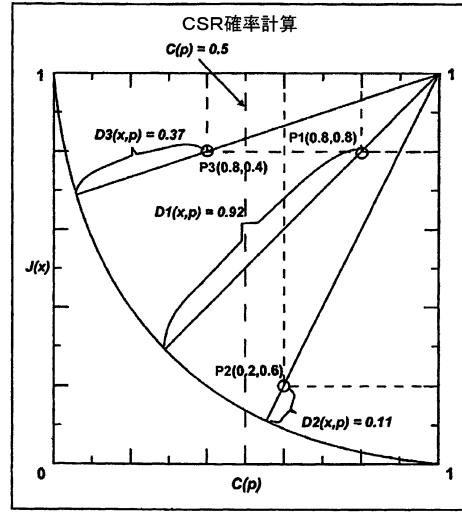


FIG. 6

【 図 7 】

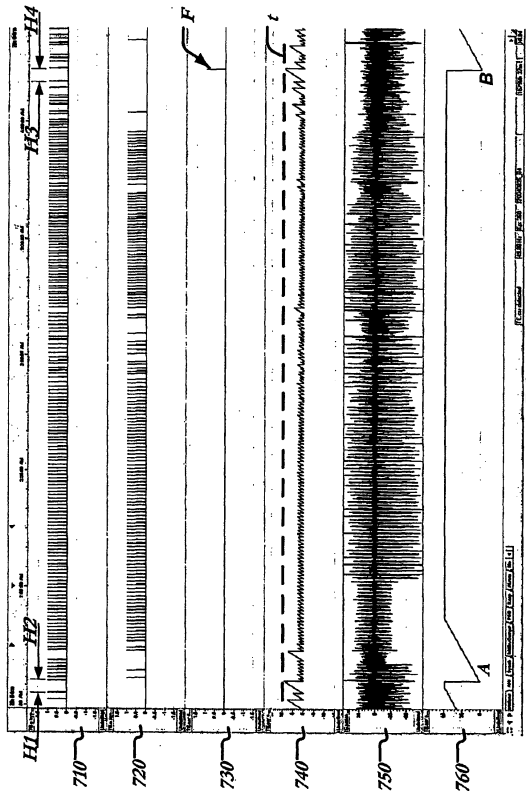


FIG. 7

【 図 8 】

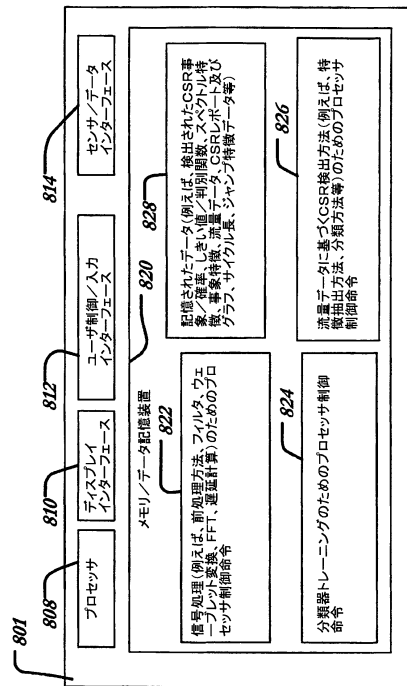


FIG. 8

【図9】

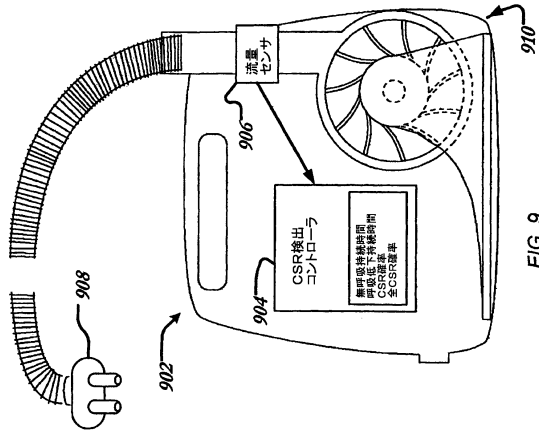


FIG. 9

フロントページの続き

- (74)代理人 100125380
弁理士 中村 綾子
- (74)代理人 100142996
弁理士 森本 聡二
- (74)代理人 100154298
弁理士 角田 恭子
- (74)代理人 100166268
弁理士 田中 祐
- (74)代理人 100170379
弁理士 徳本 浩一
- (74)代理人 100161001
弁理士 渡辺 篤司
- (74)代理人 100179154
弁理士 児玉 真衣
- (74)代理人 100180231
弁理士 水島 亜希子
- (74)代理人 100184424
弁理士 増屋 徹
- (72)発明者 アーミットステッド, ジェフリー・ピーター
オーストラリア国ニューサウスウエールズ州 2 1 5 3, ベラ・ピスタ, エリザベス・マッカーサー
・ドライブ 1, レスメド・リミテッド内
- (72)発明者 ラマナン, ディネシュ
オーストラリア国ニューサウスウエールズ州 2 1 5 3, ベラ・ピスタ, エリザベス・マッカーサー
・ドライブ 1, レスメド・リミテッド内

審査官 早川 貴之

- (56)参考文献 特表 2 0 0 8 - 5 2 5 0 6 0 (J P , A)
米国特許第 0 7 4 1 3 5 4 9 (U S , B 1)
特表 2 0 1 2 - 5 1 7 2 9 3 (J P , A)

- (58)調査した分野(Int.Cl., DB名)
A 6 1 B 5 / 0 8 7